

И. А. Сучков, канд. геол.-мин. наук, доцент
кафедра общей и морской геологии
Одесский национальный университет им. И. И. Мечникова ул.
Дворянская, 2, Одесса, 65082, Украина gsuchkov@gmail.com

ТРАНСФОРМАЦИОННЫЕ ПРЕОБРАЗОВАНИЯ ГИДРООКИСЛОВ МАРГАНЦА ИЗ ЖЕЛЕЗО-МАРГАНЦЕВЫХ ОБРАЗОВАНИЙ МИРОВОГО ОКЕАНА ПРИ ТЕМПЕРАТУРНОМ ВОЗДЕЙСТВИИ

Приведены данные изучения изменения минералогического состава железомарганцевых образований различных районов Мирового океана и Черного моря при нагревании. Проведенные исследования позволили уточнить кристаллохимические особенности гидроокислов марганца, особенности температурных преобразований гидроокислов марганца различного генезиса и химического состава. Предложена схема трансформационных преобразований гидроокислов марганца при нагревании. Выявленные особенности могут быть использованы при разработке технологических процессов обогащения морских и океанических железо-марганцевых образований.

Ключевые слова: минералы марганца, преобразования кристаллической структуры, рентгеновская дифракция.

ВВЕДЕНИЕ

В настоящее время среди минеральных ресурсов Мирового океана особый интерес представляют железомарганцевые образования, которые являются комплексной рудой на медь, никель, кобальт, марганец и ряд других элементов. Железомарганцевые образования океана подразделяются на железомарганцевые конкреции, корки и микроконкреции и могут иметь различный генезис (гидрогенный, диагенетический и гидротермальный). Железомарганцевые образования внутренних морей (Черное море, Балтийское море), ввиду небольших содержаний цветных металлов, представляют практический интерес, прежде всего как природные сорбенты.

Железо-марганцевые образования имеют сложный минеральный состав. Их основу слагают гидроокислы *Mn* и *Fe*. Сложность диагностики минералов *Mn* состоит в том, что они плохо окристаллизованы, тонкодисперсны и дают тончайшие взаимные прорастания. Во многих случаях минералы *Mn* определялись как псиломелан, вернадит, тодорокит, 10 А марганцевая фаза, рентгенаморфные окислы *Mn* и *Fe*, что объясняется трудностью и неоднозначностью их определения.

Большой вклад в понимание минералогии и кристаллохимии минералов *Mn* ЖМО внесли Ф. В. Чухров с соавторами [14], изучая их методом электронной микроскопии с микродифракцией электронов.

Переход к массовому определению минерального состава и уточнению кристаллохимических особенностей гидрокислов *Mn* стал возможен благодаря разработке специальной методики рентгendifракционного изучения этих образований основанной на особенностях дегидратации марганцевых минералов при температуре 90-100⁰С [8-10]. Достоверная диагностика минералов *Mn* возможна с применением комплекса методов, включающего рентгеновскую дифрактометрию и микродифракцию электронов [4].

Воздействие температуры на минералы марганца из окенических железомарганцевых образований изучалось рядом авторов [1-3]. В этих работах приводятся результаты изучения проб представленных смесью марганцевых минералов, реже мономинеральных, не охватывающих все разнообразие железомарганцевых образований океана.

Актуальность, теоретическое и практическое значение заключается в том, что представленные в статье результаты исследований, дают представления о кристаллохимических особенностях преобразований марганцевых минералов с различным типом кристаллической структуры, различными химическим составом и генезисом. Это позволяет выработать новые критерии диагностики этих минералов и оценки качества этого вида минерального сырья. Достоверные данные о минералогии железомарганцевых образований и возможных трансформационных преобразования гидроокислов марганца необходимы в связи с их использованием как нового вида полезных ископаемых, а также в связи с решением вопросов их генезиса.

Целями работы являются изучение и характеристика продуктов термических превращений гидроокислов марганца из железомарганцевых образований различных районов Мирового океана и их кристаллохимическая интерпретация.

Объектом исследований являются процессы преобразования кристаллической структуры марганцевых минералов при воздействии температуры. Предмет - гидроокислы марганца железо-марганцевых образований различных районов Мирового океана

МАТЕРИАЛЫ И МЕТОДЫ ИССЛЕДОВАНИЯ

Сотрудники Одесского университета имени И. И. Мечникова, начиная с 1980-ых годов, изучают железо-марганцевые образования Индийского океана. Отобранные во время экспедиций в Индийский океан образцы железомарганцевых образований послужили материалом для детального изучения их минерального состава (НИС «АНТАРЕС», НИС «Феодосия») Основные особенности их минералогии описаны ранее [10-13]. Объектом исследования послужили образцы железомарганцевых образований Центральной и Западноавстралийской котловин, Восточно-Индийского хребта и района тройного сочленения Срединно-Индийских хребтов. Кроме этого для сравнения были отобраны образцы железомарганцевых образований Тихого (Поле Кларион-

Клиппертон, Центрально-Тихоокеанское поле, Перуанская котловина) и Атлантического (поле ТАГ) океанов. Образцы железо-марганцевых конкреций Каламитского поля (Черное море) предоставлены для исследования Пунько В. П. и были собраны во время тематических работ ДРГП «Прочерноморгегология» [5-6]. Фазовый состав железо марганцевых конкреций изучался методом рентгеновской дифракции по методике разработанной ранее [8-10].

Был отобран ряд проб с широкими вариациями химического и минерального состава. Образцы отбирались таким образом, чтобы одна минеральная фаза гидроокислов марганца была представлена двумя пробами: с высоким и низким отношением марганца и железа и различными количествами никеля, кобальта и меди. Для исследования были выбраны встречающиеся в морских и океанических конкрециях минералы: вернадит, бернессит, бузерит I, смешанослойный асболан-бузерит, тодорокит, пиролюзит. Общая характеристика проб отобранных для изучения представлена в таблицах 1,2.

Таблица 1.

**Химический состав и продукты отжига минералов
марганца океанических железомарганцевых руд.**

| Морфология, генезис, место отбора образцов | Исходный фазо- вый состав | Элементы % | | | | | Mn/ Fe | Фазовый состав продуктов отжига при 900°C |
|--|-----------------------------------|------------|-------|------|-------|------|-----------|---|
| | | Mn | Fe | Ni | Cu | Co | | |
| 1 | 2 | 3 | 4 | 5 | 6 | 7 | 8 | 9 |
| Гидрогенная корка. Срединно Индийский хребет. | вернадит | 19,3 | 17,8 | 0,22 | 0,03 | 0,69 | 1,08 | якосит гематит |
| Седиментационная конкремция. Центрально- Индийское поле | вернадит | 20,56 | 12,75 | 0,39 | 0,19 | 0,22 | 1,61 | якосит биксбииит |
| Диагенетическая кон- кремция. Поле Кларон- Клиппертон. | бузерит I | 28,6 | 9,8 | 1,12 | 0,75 | 0,03 | 2,91 | якосит биксбииит гаусманит |
| Диагенетическая конкремция. Перуанская котловина. | бузерит I | 43,2 | 0,9 | 0,61 | 0,28 | 0,07 | 45,4 | гаусманит |
| Диагенетическая кон- кремция. Каламитское поле. Черное море. | бернессит | 8,2 | 20,1 | 0,06 | 0,004 | 0,01 | 0,4 | якосит гематит |
| Диагенетическая кон- кремция. Перуанская котловина | бернессит | 31,5 | 10,5 | 1,3 | 0,83 | 0,04 | 2,99 | якосит биксбииит гаусманит |
| Гидротермальная корка. Поле ТАГ. | бернессит | 40,1 | 1,0 | 0,02 | 0,02 | 0,01 | 39,7 | гаусманит |
| Диагенетическая конкремция. Центрально Тихоокеанское поле | смешанослойный асболан-бузерит | 27,0 | 6,3 | 0,98 | 0,82 | 0,07 | 4,29 | якосит биксбииит гаусманит |
| Диагенетическая конкремция. Центрально- Индийское поле | смешанослойный асболан-бузерит | 54,44 | 7,13 | 0,36 | 0,33 | 0,02 | 7,6 | биксбииит гаусманит якосит |

Продолжение табл. 1

| 1 | 2 | 3 | 4 | 5 | 6 | 7 | 8 | 9 |
|---|-----------|------|-----|------|------|------|------|----------------------------------|
| Гидротермальная корка. Восточно-Ин- дийский хребет. | тодорокит | 49,3 | 3,2 | 0,24 | 0,66 | 0,04 | 15,6 | гаусманит биксбиит якобсит |
| Гидротермальная корка. Восточно-Ин- дийский хребет | пиролюзит | 69,2 | 0,2 | 0,03 | 0,08 | 0,01 | 345 | гаусманит |

Для изучения преобразования минерального состава железомарганцевых образований проводилось последовательное нагревание образцов (шаг 100°) в интервале температур 20-900°C. До температуры 500°C пробы нагревались на стеклянных подложках, а при более высоких температурах в корундовых тиглях. Отжиг проводился при заданной температуре в течении 1 часа.

Таблица 2.

**Химический и минеральный состав проб состоящих
из смеси марганцевых минералов и продукты их отжига**

| № пробы | Исходный минеральный состав, % | | Элементы, % | | Mn/Fe | Минеральный состав продуктов отжига |
|------------|-----------------------------------|-----------------|-------------|------|-------|--|
| | бернессит | асболан-бузерит | Mn | Fe | | |
| 9 | 37 | 63 | 19.9 | 11.0 | 1.81 | якобсит биксбиит |
| 12 | 43 | 57 | 20.5 | 8.0 | 2.56 | якобсит биксбиит |
| 11 | 32 | 68 | 30.8 | 7.5 | 4.10 | якобсит биксбиит гаус- манит |
| 13 | <10 | >90 | 39.6 | 8.7 | 4.54 | якобсит гаусманит бик- сбиит |
| 10 | 69 | 31 | 34.4 | 4.3 | 7.93 | биксбиит гаусманит якобсит |

Минеральный состав исходных проб и продуктов отжига проводился методом рентгеновской дифракции на установке ДРОН-3 по разработанной ранее методике [5-7].

РЕЗУЛЬТАТЫ ИССЛЕДОВАНИЯ И ИХ ОБСУЖДЕНИЕ

В общем случае структурные преобразования окислов марганца из морских и океанических железо-марганцевых конкреций следующие. При температуре 100°C бузерит I переходит в бернессит, а у смешанослойного асболан-бузерита наблюдается сдвиг базальных рефлексов в сторону больших углов 20, что в обеих случаях связано с удалением воды из бузеритовых пакетов (рис.1). В вернадите, бернессите и тодороките и пиролюзите изменений не наблюдается (рис. 2,3).

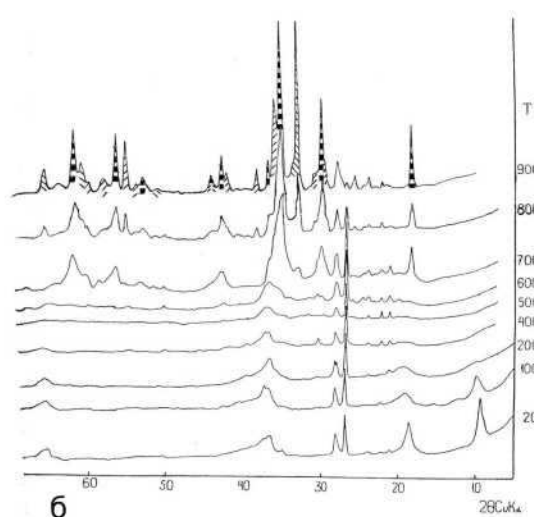
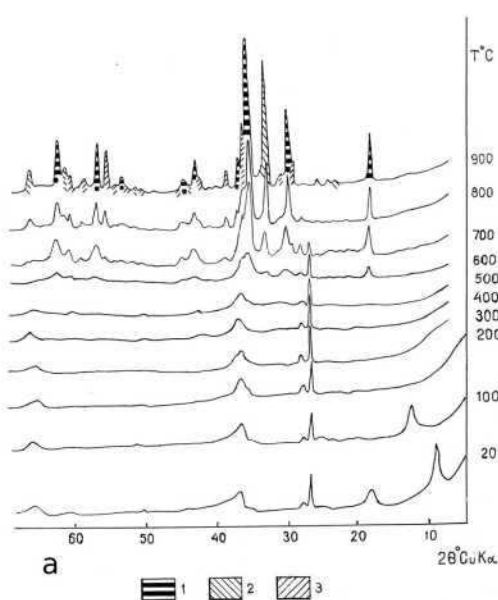


Рис. 1. Дифрактограммы продуктов отжига бузерита I (а) и смешанослойного асболан-бузерита (2). 1—якосит, 2—биксбит, 3—гаусманит

При температуре 200°C на дифракционной картине бузерита I, бернессита, смешанослойного асболан-бузерита исчезают базальные рефлексы и остаются два отражения с $d = 2.44$, 1.42 Å, которые сохраняются до 600°C. На дифракционных картинах тодорокита и пиролюзита при данных температурах дифракционные рефлексы сохраняются, хотя интенсивность их падает.

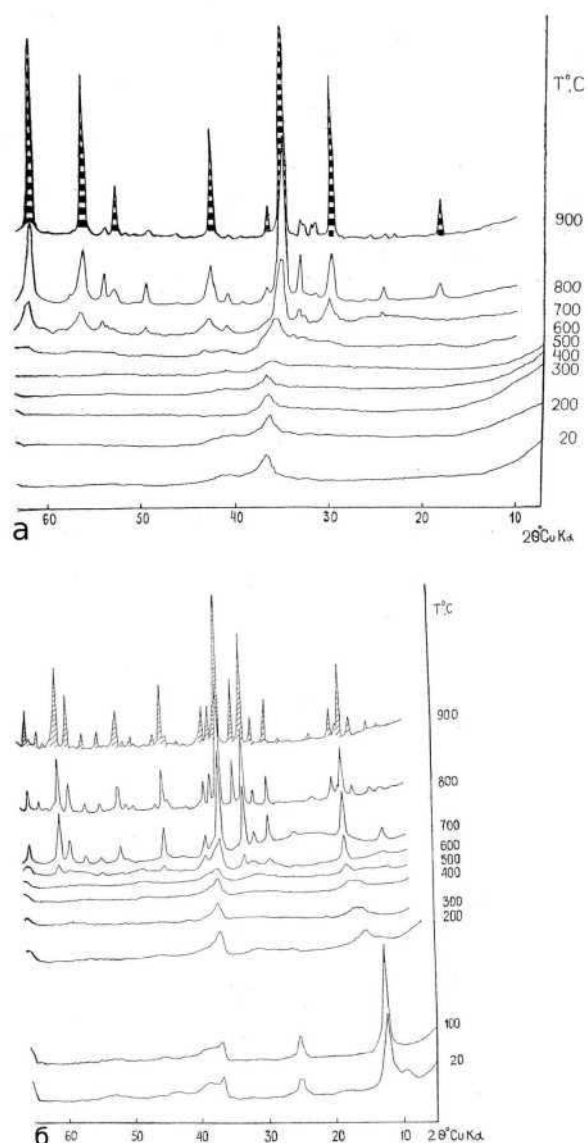


Рис. 2.Дифрактограммы продуктов отжига вернадита (а) и бернессита (2)

При температуре 600°C начинается формирование следующих фаз окислов железа и марганца: гематит (Fe_2O_3), якобсит ($(Mn,Fe)_2O_4$), биксбиит ($((Mn,Fe)_2O_3)$, и гаусманит (Mn_3O_4), которое продолжается до температуры 900°C. Формирующиеся при высоких температурах гематит, якобсит, биксбиит и гаусманит имеют следующие структурные отличия. В гематите, имеющим плотнейшую гексагональную упаковку анионов кислорода, октаэдрические позиции заселены катионами железа. Структура якобсита представляет собой плотнейшую кубическую упаковку атомов кислорода, в которой октаэдрические и тетраэ-

дрические позиции заселены катионами марганца и железа. У биксбита катионами заселены только октаэдрические позиции. Гаусманит имеет кристаллическую структуру тетрагональной симметрии и её можно представить как плотнейшую кубическую упаковку атомов кислорода искаженную вдоль оси четвертого порядка.

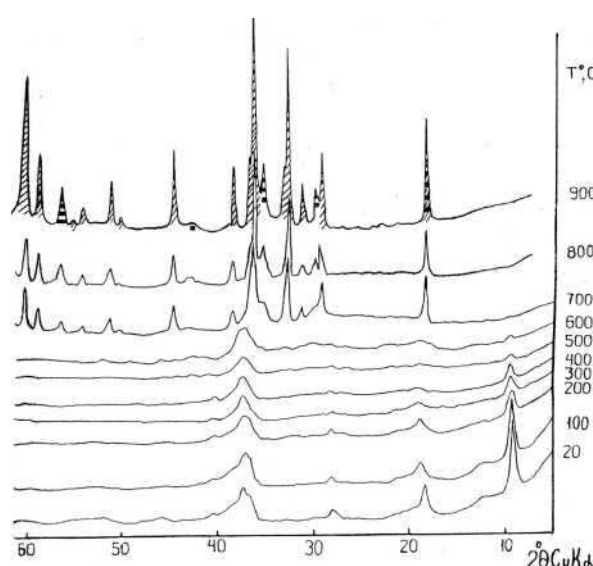


Рис. 3.Дифрактограммы продуктов отжига тодорокита.
Условные обозначения нарис.1.

В продуктах отжига окислов марганца выше 600°C мы наблюдаем смесь, перечисленных выше минералов.

Пробы, исходный минеральный состав которых является мономинеральным. Бузерит,I бернессит, пиралюзит характеризующиеся высоким соотношением марганца к железу (более 3) и различным количеством никеля кобальта и меди, переходят в гаусманит. Бузерит I, смешанослойный асболан-бузерит и бернессит и тодорокит, характеризующиеся средними соотношениями марганца к железу (отношение 1-3) и различными количествами никеля, кобальта и меди, переходят в смесь якосита, биксбита и гаусманита. Причем при увеличении отношения марганца и железа в исходной пробе количество якосита уменьшается, а гаусманита увеличивается. При этом содержание изменения содержания никеля, кобальта и меди не влияет на минеральный состав продуктов отжига. Вернадит и бернессит с низким соотношением марганца к железу (менее 1) и низкими содержаниями никеля, кобальта и меди переходит в якосит с примесью гетита (рис.4).

Продукты нагревания проб сложенных смесью смешанослойного асболан-бузерита и бернессита с средними отношениями марганца и железа и высокими (отношение 1-3) содержаниями кобальта меди и никеля (суммарное содержание от

0,5 до 1%) представлены смесью якобсита, биксбита и гаусманита. Соотношения этих минералов в продуктах отжига, так же как и для мономинеральных образцов зависит от соотношения марганца и железа в исходной пробе. А количество кобальта, меди и никеля, а также исходный минеральный состав не влияет на структурные преобразования при температуре 600-900°C.

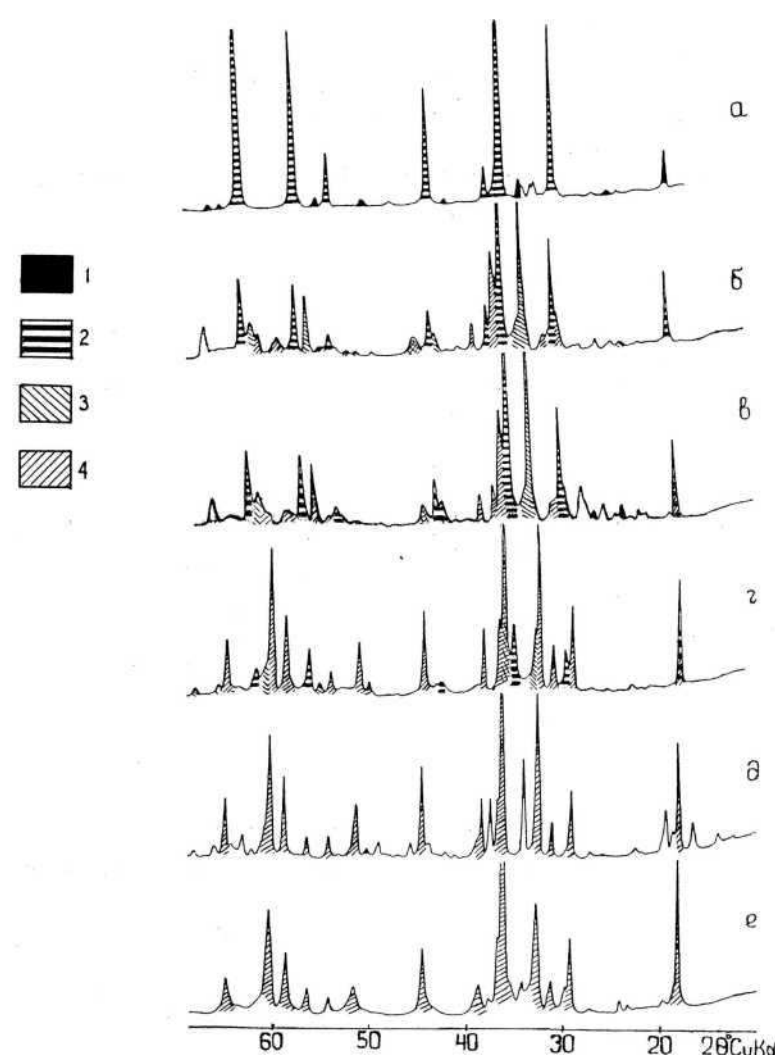


Рис. 4. Дифрактограммы продуктов отжига при 900°C гидроксидов марганца океанических рудных образований. Исходные образцы а - вериадит, б - бузерит 1, в - асболан бузерит, г - тодорокит, д - бериессит, е - пиролюзит.

Условные обозначения: 1 - гематит,
2 - якобсит, 3 - биксбит, 4 - гаусманит.

Определены размеры элементарных ячеек минералов продуктов отжига гидроокислов марганца из морских и океанических железо-марганцевых образований. У якобсита во всех изученных образцах параметр a меняется не-

значительно и равен 8.462(7) Å. Также себя ведет и биксбиит ($a=9.406(8)$ Å). Параметры элементарной ячейки гаусманита меняются в большей степени. Параметр a меняется от 5.7418(4) Å до 5.787(2) Å; параметр c от 9.269(6) Å до 9.368(1) Å. Столь значительные колебания в параметрах элементарной ячейки гаусманита объясняется вхождением изоморфных примесей цветных металлов в структуру минерала. В литературе [7] приводятся сведения о гаусманите с примесью цинка, который в сравнении с обычным гаусманитом имеет повышенные значения параметра a и пониженные значения параметра c . По нашим данным увеличение содержания цветных металлов в исходных образцах дает аналогичную картину. Обогащение цветными металлами приводит к увеличению параметра a и уменьшению параметра c гаусманита.

В гидроокислах марганца со слоистой структурой (вернадит, бернессит, бузерит I, смешанослойный асболан-бузерит) при температуре выше 100°C на дифрактограммах остаются только рефлексы типа 100 и 110. Что объясняется тем, что удаление воды из структуры минерала приводит к нарушению периодичности кристаллической структуры вдоль оси c . Туннельная структура тодорокита и пиролозита до температуры 600°C остается устойчивой. При температуре 600°C и выше начинается образование гематита (Fe_2O_3), якосита ($MnFe_2O_4$), биксбиита ($(Mn,Fe)_2O_3$), и гаусманита (Mn_3O_4). Образование гематита и якосита, либо биксбиита и гаусманита зависит только от соотношения марганца и железа в исходной пробе и не зависит от минерального состава исходного образца и содержания в нем никеля, меди и кобальта.

Характер преобразования гидроокислов марганца из морских и океанических железомарганцевых образований при температуре 200-500°C отражает различие в структуре тодорокита и других изученных нами минералов. Основу структуры гидроокислов марганца слагают $[MnO_6]$ октаэдры, различное сочленение которых дает слоистые (бузерит I, бузерит II, бернессит, асболана, вернадит) и туннельные (тодорокит, пиролозит) структуры. В окислах марганца со слоистой структурой при температуре выше 100°C происходит разрыв водородных связей между слоями марганцевых октаэдров и разупорядочивание этих слоев вдоль оси c . Оставшиеся на дифрактограммах рефлексы с $hk1$ 100 и 110 могут отвечать отражениям от непериодически чередующихся вдоль оси c слоев марганцевых октаэдров. Подобная дифракционная картина характерна и для вернадита. Туннельная структура тодорокита до 600°C остается устойчивой.

Направленность преобразований гидроокислов марганца при нагревании отражает общность их структурного мотива (рис.5). При воздействии температуры меняется только способ сочленения слоев и лент марганец кислородных октаэдров. При 100°C в результате дегидратации бузеритовые пакеты

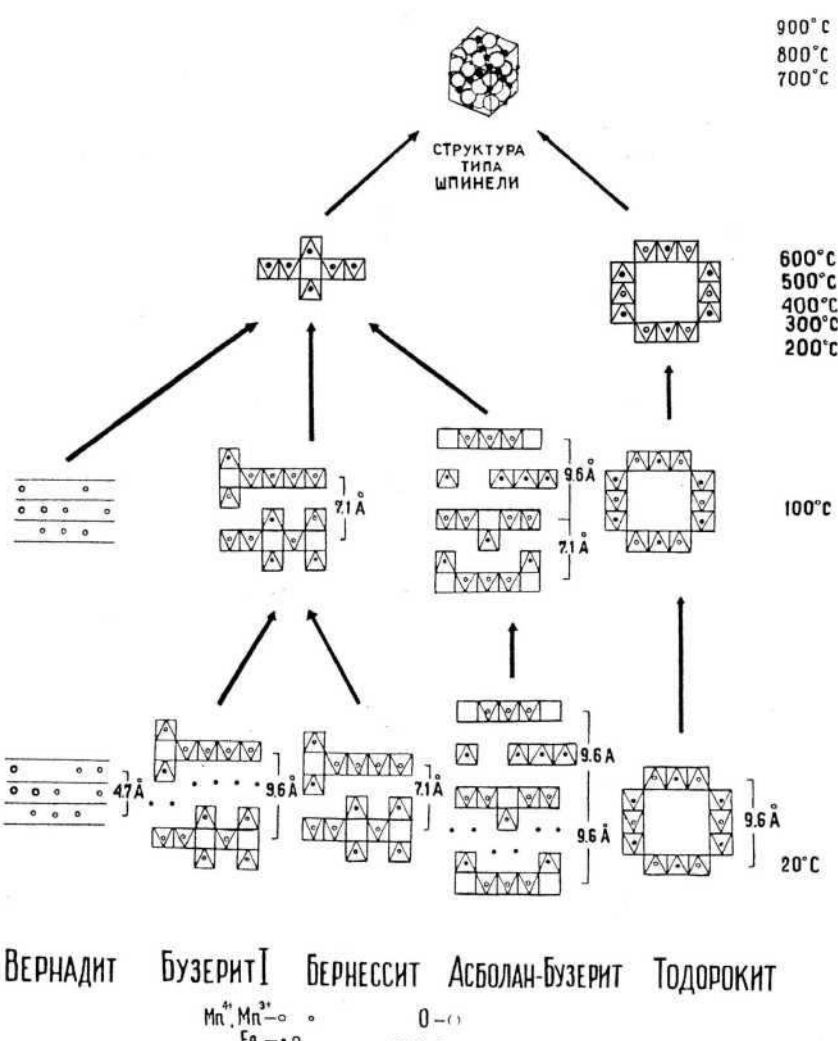


Рис. 5. Схема преобразований гидроокислов марганца из океанических рудных образований при нагревании

сжимаются, а при 200°C в гидроокислах со слоистой структурой происходит разрушение связей между слоями марганцевых октаэдров. В интервале температур 200-600°C структура слоистых окислов марганца представляет собой непериодически чередующиеся вдоль оси *c* фрагменты слоев $[\text{MnO}_6]$ октаэдров. Кристаллическая структура минералов марганца с туннельным типом кристаллической структуры (тодорокит, пиролюзит) остается устойчивой до 600°C. Выше 600°C слои марганцевых октаэдров всех изученных нами ми-

ралов начинают формировать плотнейшую кубическую упаковку типа шпинели. Картина превращений гидроокислов марганца при высоких температурах представляется следующим образом. При преобладании железа над марганцем при высоких температурах формируется гематит и якобсит. При увеличении содержания марганца в исходной пробе в продуктах отжига гематит отсутствует, и совместно с якобситом образуется биксбийт. Далее с увеличением содержания марганца в продуктах отжига появляется гаусманит, что соответствует области разрыва смесимости в данной системе. При дальнейшем увеличении отношения марганца и железа якобсит прекращает формироваться и вследствии понижения температуры перехода $Mn_2O_3 \rightleftharpoons Mn_3O_4$, количество гаусманита возрастает.

Направленность фазового перехода при высоких температурах от гематита и якобсита к биксбийту и гаусманиту зависит прежде всего от соотношения марганца и железа в исходной пробе, и не зависит от минерального состава исходного образца. Цветные металлы в продуктах отжига не образуют самостоятельных фаз, а изоморфно входят в структуру гаусманита.

ВЫВОДЫ

Таким образом, картина превращений гидроокислов марганца при высоких температурах представляется следующим образом. При преобладании железа над марганцем в исходной пробе при высоких температурах формируется гематит и якобсит. При увеличении содержания марганца в исходной пробе в продуктах отжига гематит отсутствует, и совместно с якобситом образуется биксбийт. Далее с увеличением содержания марганца в исходной пробе в продуктах отжига появляется гаусманит, что соответствует области разрыва смесимости в данной системе. При дальнейшем увеличении отношения марганца и железа якобсит прекращает формироваться и количество гаусманита возрастает.

Таким образом, направленность преобразований гидроокислов марганца из морских и океанических железомарганцевых образований при нагревании отражает общность их структурного мотива. При воздействии температуры меняется только способ сочленения слоев и лент марганец-кислородных октаэдров и меняется их упорядоченность.

СПИСОК ИСПОЛЬЗОВАННОЙ ЛИТЕРАТУРЫ

1. *Лысюк Г. Н. Минералогия океанических железомарганцевых конкреций I Г. Н. Лысюк - СПб.: Наука. - 1991.- 120 с.*
2. *Нефедов Ю. А. Фазовые превращения в океанических железомарганцевых конкрециях при подготовке к восстановительной плавке !Ю.А. Нефедов, Л. Н.Анелок, Е. В. Крюков II Геология и полезные ископаемые Мирового океана. -2010. -№ 1.- С. 40- 47.*
3. *Новиков Г. В. Трансформации рудных минералов океанских железомарганцевых отложений различного генезиса при нагревании / Г. В. Новиков, О. Ю. Богданова И Литология и полезные ископаемые. - 2007. - №4.- С. 339-355.*
4. *Ожогина Е. Г. Особенности методики изучения минерального состава железомарганцевых конкреций океана /Е. Г. Ожогина, В. Т. Дубинчук, В. И. Кузмин,А.А. Рогожин II Вестник КРАУНЦ. - Серия: Науки о Земле. - 2004. - №3 , - С.86-90.*
5. *Дунько Л. Железомарганцевое конкрециеобразование - процесс локализации антропогенного загрязнения в геохимических барьерных зонах морей !В.П. Дунько//Геоэкология Украины. - Киев: Институт*

- экологического мониторинга АН ТКУ - 1993. - С. 68-70.
6. Пунько В. П. Генетические категории железомарганцевых конкреций в морских отложениях /В. П. Пунько/ Геоэкология реакреационных зон Украины. - Киев: КГУ - 1996.-С. 162-168.
 7. Roy C. Месторождения марганца / C. Roy - M.: Mir. - 1986. - 519 с.
 8. Скорнякова Н. С. Железомарганцевые конкреции Центральной котловины Индийского океана I Л. С. Скорнякова, В. Н. Свальное, И. О. Мурдмаа и др. - М.: Наука. - 1989. - 223 с.
 9. Сметаникова О. Г. Возможности рентгендифракционных методов при диагностике гидроксидов марганца I О. Г. Сметаникова, В.А. Франк-Каменецкий II Методы дифракционных исследований кристаллических материалов. - Новосибирск: Наука, Сибирское отделение. - 1989. - С. 100-107.
 10. Сметаникова О. Г. Минеральный состав и структура океанических железомарганцевых образований в связи с их генезисом I О. Г. Сметаникова, С. И. Андреев, Л. И. Аннекеева, В. А. Франк-Каменецкий, И. А. Сучков II Записки Всероссийского минералогического общества. - 1991. - Ч. СХХ. — № 3. — С. 31-42.
 11. Сучков И. А. Минеральный состав железомарганцевых конкреций Центральной котловины Индийского океана / Л. А. Сучков, О. Г. Сметаникова, В. П. Резник II Минералогический журнал. - 1988. - Т. 10. - №4.- С. 73-78.
 12. Сучков И. А. Минеральный состав гидротермальных марганцевых коркоподобных образований Восточно-Индийского хребта /Л. А. Сучков, В. П. Резник, О. Г. Сметаникова, В.А. Франк-Каменецкий II Минералогический журнал. - 1991. - Т. 13. -№ 1. - С. 60-67.
 13. Сучков И. А. Минеральный состав железомарганцевых образований Индийского океана / И. А. Сучков, В. П. Резник, В. И. Главацкий II Мінералогія в Одесі на межі тисячоліть: Праці кафедри загальної та морської геології. ОНУ - Одеса. - 2000. - Вип.1. - С. 69-75
 14. Чухров Ф. В. Гипергенные окислы марганца I Ф. В. Чухров, А. Л. Горшков, В. А. Дриц — М.: Наука. - 1989. - 208 с.

REFERENCES

1. Lysyuk, G.N. (1991), *Mineralogiya okeanicheskikh z* [Mineralogy of oceanic ferromanganese concretions], Nauka, St. Petersburg, 120 p.
2. Nefedov, Y.A., Anelok, L.I., Kryukov, E.V. (2010), «Phase changes in oceanic ferromanganese concretions in preparation for smelting reduction», *Geology and Mineral Resources of the World Ocean* [«Fazovye prevarashcheniya v okeanicheskikh zhelezomargantsevykh konkretsiyakh pri podgotovke k vosstanovitelnoy plavke»], *Geologiya ipoleznye iskopaemye Mirovogo*], No. 1, pp. 40-47.
3. Novikov, G.V., Bogdanova, O.Y. (2007), «Transformation of ore minerals ocean ferromanganese deposits of different genesis by heating», *Lithology and Mineral Resources* [«Transformatsii rudnykh mineralov okeanskih zhelezomargantsevykh otlozheniy razlichnogo genezisa pri nagrevaniyu»], No. 4, pp. 339-355.
4. Ozhogina, E.G., Dubinchuk, V.T., Kuzmin, V.I., Rogozhin, A.A. (2004), «Peculiarities of methods for studying the mineral composition ferromagnesian concretions ocean», *Bulletin KRAERC, Earth sciences* [«Osobennosti metodiki izuchenija mineralnogo sostava zhelezomargantsevykh konkretsij okeana», *Vestnik KRAUNTS, Seriya: Nauki o Zemle*, No. 3, pp. 86-90.
5. Punko, V.P (1993), «Formation ferromagnesian concretions - the localization process of anthropogenic pollution in geochemical barrier zones of the seas», *Geoecology Ukraine* [«Zhelezomargantsevoe konkretsieobra- zovanie - protsess lokalizatsii antropogenного загрязнения в геохимических барьерных зонах морей», *Geoekologiya Ukrayiny*], -Institute for Environmental Monitoring AS TKU, Kiev, pp. 68-70.
6. Punko, V.P. (1996), «Genetic categories ferromagnesian concretions in marine sediments», *Geoecology of recreation zones of Ukraine* [«Geneticheskie kategorii zhelezomargantsevykh konkretsij v morskikh otlozheniyakh», *Geoekologiya reakreatsionnykhzon Ukrayiny*], Kiev State University, Kiev, pp. 162-168.
7. Roy, S. (1986), *Mestorozhdeniya mangantsa [Deposits of manganese]*, Mir, Moscow, 519 p.
8. Skomyakova, N.S., Svalnov, V.N., Murdmaa, I.O. et al., (1989), *Zhelezomargantsevye konkretsii Tsentralnoy koteloviny Indiyskogo okeana [Ferromagnesian concretions of Central Indian Ocean basin]*, Nauka, Moscow, 223 p.
9. Smetannikova, O.G., Frank-Kamenetskiy, V.A. (1989), «Possibility of X-ray diffraction methods in the diagnosis of manganese hydroxides »Methodsdiffraction studies of crystalline materials [«Vozmozhnosti rentgendifraktsionnykh metodov pri diagnostike gidroksidov mangantsa», *Metody difraktsionnykh issledovaniy kristal- Ucheskikh materialov*], Nauka, Siberian Branch, Novosibirsk, pp. 100-107.
10. Smetannikova, O.G., Andreev, S.I., Anikeeva, L.I., Frank-Kamenetskiy, V.A., Suchkov, I.A. (1991), «The mineral composition and structure of oceanic ferromanganese formations in relation to their genesis», *Notes Russian Mineralogical Society* [«Mineralnyy sostav i struktura okeanicheskikh zhelezomargantsevykh obrazovaniy v svyazi s ikh genezisom», *Zapiski Vserossiyskogo mineralogicheskogo obshchestva*], Part CXX, No.3, pp. 31-42.
11. Suchkov, I.A., Smetannikova, O.G., Reznik, V.P (1988), «The mineral composition ferromagnesian concretions of

- Central Indian Ocean basin», *Mineralogical Journal* [«Mineralnyy sostav zhelezomargantsevykh konkretsiy Tsentralnoy kotloviny Indiyskogo okeana», *Mineralogicheskij zhurnal*], vol. 10, No.4, pp. 73-78.
12. Suchkov, I.A., Reznik, V.P., Smetannikova, O.G., Frank-Kamenetsiy, V.A. (1991), «The mineral composition of hydrothermal manganese of the crusted formations East Indian [«Mineralnyy sostav gidrotermalnykh mangantsevykh korkopodobnykh obrazovaniy Vostochno-Indiyskogo khrebeta». Mver-alogicheskij zhurnal vol.13, No.1, pp. 60-67.
 13. Suchkov, I. A. Reznik, V.P., Glavatskiy, V.I. (2000), «The mineral composition of ferromanganese formations of the Indian Ocean», *Mineralogy in Odessa the Millennium: Proceedings of the Department of Physical and Marine Geology, ONU* [«Mineralnyy sostav zhelezomangantsevykh obrazovaniy Indiyskogo okeana», *Mineralogiya v Odesi na mezhi tisyacholit: Pratsi kafedri zagalnoi ta ONU*], Odessa, issue 1, pp. 69-75.
 14. Chukhrov, F.V., Gorshkov, A.I., Drits, V.A. (1989), *Gipergeomnye okisly mangantsa [Hypergene manganese oxides]*, Nauka, Moscow, 208 p.

Надійшла 20.07.2014

I. O. Сучков, канд. геол.-мін. наук, доцент кафедра загальної та морської геології Одеський національний університет ім. І.І.Мечникова вул. Дворянська, 2, Одеса, 65082, Україна gsuchkov@gmail.com

ТРАНСФОРМАЦІЙНІ ПЕРЕТВОРЕННЯ ГІДРООКІСЛІВ МАНГАНУ З ЗАЛІЗО-МАНГАНЕВИХ УТВОРЕНЬ СВІТОВОГО ОКЕАНУ ПРИ ВПЛИВУ ТЕМПЕРАТУРИ

Резюме

Наведено дані вивчення зміни мінералогічного складу залізомanganевих утворень різних районів Світового океану і Чорного моря при нагріванні. Дослідження, що були проведені дозволили вточнити кристалохімічні особливості гідроокіслів мангану, особливості температурних перетворень гідроокіслів мангану різного генезису і хімічного складу. Запропоновано схему трансформаційних перетворень гідроокіслів мангану при нагріванні. Виявлені особливості можуть бути використані при розробці технологічних процесів збагачення морських і океанічних залізо-манганевих утворень.

Ключові слова: мінерали мангану, перетворення кристалічної структури, рентгенівська дифракція.

I. A. Suchkov, PhD geology and mineralogy, associate professor
Department of Physical and Marine Geology Odessa 1.1. Mechnikov
National University,
Dvorianskaya St., 2, Odessa, 65082, Ukraine
gsuchkov@gmail.com

TRANSFORMATIONAL CONVERSIONS OF MANGANESE HYDROXIDES FROM FERROMANGANESE DEPOSITS OF THE WORLD OCEAN UNDER THE INFLUENCE OF TEMPERATURE

Abstract

The paper is aimed at investigation and characterization as well as at crystal-chemical interpretation of products of thermo conversions of manganese hydroxides from ferromanganese deposits from different areas in the World Ocean. The results of research which are represented in this paper give notions about features of crystal-chemical conversions of manganese minerals with different types of crystal structure, different chemical composition and genesis when they are heated. This allows to generate new diagnostic criteria of these minerals and valuation of such

type of mineral resources. Such common minerals, in marine and oceanic nodules, as vemadite, bimessite, buzerit I, mixed-layer asbolan-buzerit, todorokit and pyrolusite, were selected for further research. The samples were taken in certain way to have one mineral phase of manganese hydroxide which is represented by two preparations: one of which is with high ratio of iron and manganese, and the other one with low ratio, and with different quantities of nickel, cobalt and copper.

To study changes of mineral composition of ferromanganese deposits the samples were heated in consecutive order in the range of temperatures 20-900° C. The mineral composition of initial samples and the products of annealing was determined by means of x-ray diffraction.

Transformations of manganese hydroxides under the influence of high temperatures are as follows: if iron is a dominant component in the initial sample, hematite and yakobsite will be formed; if manganese content will be increased in the initial sample then hematite is absent in the products of annealing and along with yakobsite such mineral as biksbiit appears. Later on, with incensement of manganese content in the initial sample such mineral as gausmanite appears in the products of annealing which corresponds to the area of disruption of miscibility in the system. Along with farther incensement of the ratio between iron and manganese, such mineral as yakobsite cannot be formed anymore and the quantity of gausmanite increases. Initial mineralogical composition of the sample determines the character of conversions of crystal lattice up to 700° C. The composition of the final products of annealing depends first of ail on the ratio Mn/Fe in the sample.

Thus, the trend of transformation of manganese hydroxides from marine and oceanic ferromanganese deposits under the influence of heating depicts commonality of their structure. Under the influence of temperature on manganese-oxygen octahedrons only the way of connection between layers and bands and their order can be changed. The scheme of transformational conversions of manganese hydroxides is suggested in the paper.

Keywords: minerals manganese, conversion of the crystal structure, X-ray diffraction.